

*Давлатов Ш.О.*

*Каршинский инженерно-экономический институт*

*Узбекистан, г.Карши*

**АЛГОРИТМ ЧИСЛЕННОГО РЕШЕНИЯ СИММЕТРИЧЕСКИХ Т-  
ГИПЕРБОЛИЧЕСКИХ СИСТЕМ С ПОСТОЯННЫМИ  
КОЭФФИЦИЕНТАМИ НА ОДНОСВЯЗНОЙ ДВУХМЕРНОЙ ОБЛАСТИ.**

*Аннотация. В этой статье исследована смешанная задача для симметрических  $t$ -гиперболических систем с постоянными коэффициентами. В ней обоснована схема конечных элементов в случае равномерной сетки. Разработана программа расчета численного решения.*

*Ключевые слова: метод конечных элементов, алгоритм, смешанная задача, гиперболическая система, базисные функции, неявно-разностная схема.*

*Davlatov Sh.O.*

*Karshi Engineering and Economic Institute*

*Uzbekistan, Karshi*

*Abstract. In this paper we consider the mixed problem for symmetric  $t$ -hyperbolic systems with constant coefficients. For the mixed problem we study the question justification scheme of finite elements in the case of a uniform grid. The results of numerical calculation of the model problem are given.*

*Keywords: finite element method, algorithm, mixed problem, hyperbolic system, basic functions, implicit difference scheme.*

### Постановка смешанной задачи ([1]):

Постановка смешанной задачи для двумерных симметрических  $t$ -гиперболических систем с постоянными коэффициентами.

Пусть  $\Omega \subset \mathbb{R}^2$ . В области  $G = \{(t, x, y) : t \in (0, T), (x, y) \in \Omega\}$  найти вектор-функцию  $u$ , удовлетворяющую системе

$$A \frac{\partial u(x, y, t)}{\partial t} + B \frac{\partial u(x, y, t)}{\partial x} + C \frac{\partial u(x, y, t)}{\partial y} + Du(x, y, t) = F(x, y, t) \quad (1)$$

с граничными

$$\begin{aligned} R_1 u(t, x, y) \Big|_{\partial\Omega_{x+}} &= g_1(t, x, y), \quad R_2 u(t, x, y) \Big|_{\partial\Omega_{x-}} = g_2(t, x, y), \\ R_3 u(t, x, y) \Big|_{\partial\Omega_{y+}} &= g_3(t, x, y), \quad R_4 u(t, x, y) \Big|_{\partial\Omega_{y-}} = g_4(t, x, y), \end{aligned} \quad (2)$$

и начальным

$$u(0, x, y) = u_0(x, y), \quad (x, y) \in \Omega; \quad (3)$$

условиями. Здесь  $A, B, C$  – действительные постоянные симметричные матрицы размерности  $N \times N$ , причем  $A$  – положительно определенная;  $D$  – произвольная действительная постоянная матрица размера  $N \times N$ ;  $R_1, R_2, R_3, R_4$  – постоянные матрицы, количество столбцов которых равно  $N$ , а количества строк матриц  $R_1, R_2$  равны количеству положительных и отрицательных собственных значений матрицы  $A^{-1}B$  соответственно, а количества строк матриц  $R_3, R_4$  равны количеству положительных и отрицательных собственных значений матрицы  $A^{-1}C$  соответственно;  $g_1, g_2, g_3, g_4$  – заданные вектор-функции, согласованные с размерностью матриц  $R_1, R_2, R_3, R_4$  соответственно;  $\partial\Omega_{x+}, \partial\Omega_{x-}$  – части границы  $\partial\Omega$ , где ставятся условия, соответствующие положительным и отрицательным собственным значениям матрицы  $A^{-1}B$  соответственно, а  $\partial\Omega_{y+}, \partial\Omega_{y-}$  – части границы  $\partial\Omega$ , где ставятся условия, соответствующие положительным и отрицательным собственным значениям матрицы  $A^{-1}C$  соответственно;  $u_0(x, y)$  – заданная вектор-функция;  $u(t, x, y) = (u_1, u_2, \dots, u_M)^T$  – неизвестная, а  $F(t, x, y) = (f_1, f_2, \dots, f_M)^T$  – заданная вектор-функция.

### $\Omega$ - Аппроксимация области.

Двумерная ограниченная область аппроксимирована следующим образом. При описании границы области в качестве составляющих ее частей могут использоваться отрезки прямых и дуги окружностей. Началом некоторой части границы  $S$  считается та ее концевая точка, при движении из которой по  $S$  область

остается слева. Отрезки прямых определяются двумя точками – концами, а для дуг окружностей дополнительно задается точка центра окружности.

Область  $\Omega$  заключим в наименьший прямоугольник со сторонами, параллельными осям  $Ox$  и  $Oy$ :  $\Omega \subset [a;b] \times [c;d]$ . Проведем прямые  $x = x_i = a + h_x i$  ( $i = 0, \dots, N_x, h_x = \frac{b-a}{N_x}$ ),  $y = y_j = c + h_y j$  ( $j = 0, \dots, N_y, h_y = \frac{d-c}{N_y}$ ) пересекающие отрезки, соответственно,  $[a;b], [c;d]$ . В результате область  $\Omega$  покрывается равномерной сеткой (рис.1).

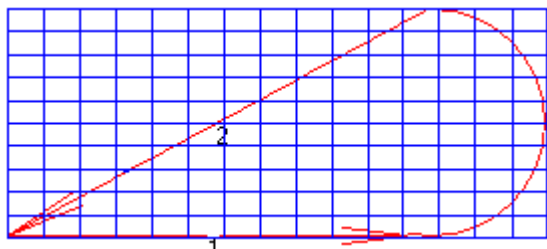


Рис.1.

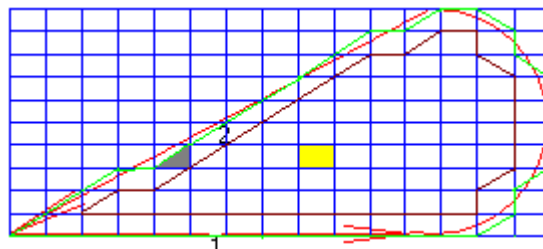


Рис.2.

Точку пересечения прямых  $x = x_i = a + h_x i$  и  $y = y_j = c + h_y j$ , называемую узлом сетки, обозначим через  $M_{ij} = M(x_i; y_j)$ .

**1-определение.** Узел, находящийся на расстоянии  $h \leq \frac{h_x}{2}$  или  $h \leq \frac{h_y}{2}$  от  $\partial\Omega$ , или лежащий на  $\partial\Omega$  называется граничным узлом.

На рисунке 2 граничные узлы соединены линией зеленого цвета.

**2-определение.** Узел, лежащий внутри области  $\Omega$  и являющийся соседним узлом граничного узла, называется околограничным узлом.

На рисунке 2 околограничные узлы соединены линией коричневого цвета.

**3-определение.** Узел, лежащий внутри области  $\Omega$  и не являющийся соседним узлом граничного узла, называется внутренним узлом.

**4-определение.** Узел, не лежащий внутри области  $\Omega$  и не являющийся граничным узлом, называется внешним узлом.

Сетка разбивает область  $\Omega_h$  на части (элементы). Каждый элемент является прямоугольником (на рис.2. желтого цвета) или треугольником (на рис.2. серого цвета). Элемент обозначим через  $K$ . Элементы, одной из вершин которых является узел  $M_{ij}$ , называются элементами этого узла. Объединение этих узлов обозначим через  $\Omega_{ij}$ . Тогда справедливо равенство  $\Omega_h = \bigcup_{M_{ij} \in \Omega} \Omega_{ij}$ .

### Построение неявной разностной схемы для задачи (1)-(3)

Построим неявную разностную схему для системы (1).

Отрезок  $[0, T]$  разобьем на  $N_t$  частей:

$$t_n = \tau \cdot n, (n = 0, \dots, N_t), \tau = \frac{T}{N_t}.$$

Будем искать приближенное решение смешанной задачи (1)-(3) на каждом слое  $t_n$

по времени в виде  $u_h^n = u_h(t_n, x, y) = \sum_{(x_i, y_j) \in \bar{\Omega}_h} u_{ij}^n Q_{ij}(x, y)$ . Здесь  $Q_{ij}(x, y)$  базисные

функции, в узле  $M(x_i, y_j)$  значение  $Q_{ij}(x, y)$  равно 1, а в остальных узлах - 0,

$$u_{ij}^n = u(x_i, y_j, t_n) = (u_{1ij}(t_n), u_{2ij}(t_n), \dots, u_{Nij}(t_n))^T = (u_{1ij}^n, u_{2ij}^n, \dots, u_{Nij}^n)^T.$$

Аппроксимируем систему (19) в узле  $M_{ij}$  т.е. в системе (1)

производную по времени  $\frac{\partial u}{\partial t}$  аппроксимируем отношением  $\frac{u(t + \tau, x, y) - u(t, x, y)}{\tau}$ ,

вместо  $u(t, x, y)$  подставим  $u_h(t_n, x, y)$ , каждое уравнение полученной системы

умножим на  $Q_{ij}(x, y)$  и проинтегрируем по  $\Omega_{ij}$ . Здесь  $\Omega_{ij}$  - объединение всех

элементов узла  $M_{ij}$ . В итоге получим неявную разностную схему:

$$\begin{aligned} & (\alpha_{ij}(A + \tau D) + \beta_{ij}\tau B + \gamma_{ij}\tau C)u_{ij}^{n+1} + \\ & (\alpha_{i+1j}(A + \tau D) + \beta_{i+1j}\tau B + \gamma_{i+1j}\tau C)u_{i+1j}^{n+1} + \\ & (\alpha_{i+1j+1}(A + \tau D) + \beta_{i+1j+1}\tau B + \gamma_{i+1j+1}\tau C)u_{i+1j+1}^{n+1} + \\ & (\alpha_{ij+1}(A + \tau D) + \beta_{ij+1}\tau B + \gamma_{ij+1}\tau C)u_{ij+1}^{n+1} + \\ & (\alpha_{i-1j+1}(A + \tau D) + \beta_{i-1j+1}\tau B + \gamma_{i-1j+1}\tau C)u_{i-1j+1}^{n+1} + \\ & (\alpha_{i-1j}(A + \tau D) + \beta_{i-1j}\tau B + \gamma_{i-1j}\tau C)u_{i-1j}^{n+1} + \\ & (\alpha_{i-1j-1}(A + \tau D) + \beta_{i-1j-1}\tau B + \gamma_{i-1j-1}\tau C)u_{i-1j-1}^{n+1} + \\ & (\alpha_{ij-1}(A + \tau D) + \beta_{ij-1}\tau B + \gamma_{ij-1}\tau C)u_{ij-1}^{n+1} + \\ & (\alpha_{i+1j-1}(A + \tau D) + \beta_{i+1j-1}\tau B + \gamma_{i+1j-1}\tau C)u_{i+1j-1}^{n+1} = \\ & \tau q_{ij} F_{ij}^{n+1} + \tau A(\alpha_{ij}u_{ij}^n + \alpha_{i+1j}u_{i+1j}^n + \alpha_{i+1j+1}u_{i+1j+1}^n + \\ & \alpha_{ij+1}u_{ij+1}^n + \alpha_{i-1j+1}u_{i-1j+1}^n + \alpha_{i-1j}u_{i-1j}^n + \alpha_{i-1j-1}u_{i-1j-1}^n + \\ & \alpha_{ij-1}u_{ij-1}^n + \alpha_{i+1j-1}u_{i+1j-1}^n) (x_i, y_j) \in \bar{\Omega}_h. \end{aligned} \quad (4)$$

Здесь

$$\alpha_{ij} = \int_{\Omega_{ij}} Q_{ij}^2(x, y) dx dy, \quad \beta_{ij} = \int_{\Omega_{ij}} \frac{\partial Q_{ij}(x, y)}{\partial x} Q_{ij}(x, y) dx dy,$$

$$\gamma_{ij} = \int_{\Omega_{ij}} \frac{\partial Q_{ij}(x, y)}{\partial y} Q_{ij}(x, y) dx dy, \quad q_{ij} = \int_{\Omega_{ij}} Q_{ij}(x, y) dx dy.$$

Граничных и начальных условий аппроксимируем следующим образом:

$$\begin{aligned} R_1 u(t_{n+1}, x_i, y_j) \Big|_{\partial\Omega_{hx+}} &= g_1(t_{n+1}, x_i, y_j), M(x_i, y_j) \in \partial\Omega_{hx+}; \\ R_2 u(t_{n+1}, x_i, y_j) \Big|_{\partial\Omega_{hx-}} &= g_2(t_{n+1}, x_i, y_j), M(x_i, y_j) \in \partial\Omega_{hx-}; \\ R_3 u(t_{n+1}, x_i, y_j) \Big|_{\partial\Omega_{hy+}} &= g_3(t_{n+1}, x_i, y_j), M(x_i, y_j) \in \partial\Omega_{hy+}; \\ R_4 u(t_{n+1}, x_i, y_j) \Big|_{\partial\Omega_{hy-}} &= g_4(t_{n+1}, x_i, y_j), M(x_i, y_j) \in \partial\Omega_{hy-}; \end{aligned} \quad (5)$$

при  $t = 0$ :

$$u(0, x_i, y_j) = u_0(x_i, y_j), \quad M(x_i, y_j) \in \bar{\Omega}_h. \quad (6)$$

В качестве базисной функции возьмем функции  $Q_{ij}(x, y) = \varphi_i(x)\psi_j(y)$ ,

где

$$\varphi_i(x) = \begin{cases} \frac{x - x_{i-1}}{h_x}, & x \in (x_{i-1}, x_i); \\ \frac{x_{i+1} - x}{h_x}, & x \in (x_i, x_{i+1}); \\ 0, & x \notin (x_{i-1}, x_{i+1}); \end{cases} \quad i = 1, \dots, N_x - 1 \quad (7)$$

$$\varphi_0(x) = \begin{cases} \frac{x_1 - x}{h_x}, & x \in (x_0, x_1); \\ 0, & x \notin (x_0, x_1); \end{cases} \quad \varphi_{N_x}(x) = \begin{cases} \frac{x - x_{N_x-1}}{h_x}, & x \in (x_{N_x-1}, x_{N_x}); \\ 0, & x \notin (x_{N_x-1}, x_{N_x}); \end{cases}$$

$$\psi_j(y) = \begin{cases} \frac{y - y_{j-1}}{h_y}, & y \in (y_{j-1}, y_j); \\ \frac{y_{j+1} - y}{h_y}, & y \in (y_j, y_{j+1}); \\ 0, & y \notin (y_{j-1}, y_{j+1}); \end{cases} \quad j = 1, \dots, N_y - 1 \quad (8)$$

$$\psi_0(y) = \begin{cases} \frac{y_1 - y}{h_y}, & y \in (y_0, y_1); \\ 0, & y \notin (y_0, y_1); \end{cases} \quad \psi_{N_y}(y) = \begin{cases} \frac{y - y_{N_y-1}}{h_y}, & y \in (y_{N_y-1}, y_{N_y}); \\ 0, & y \notin (y_{N_y-1}, y_{N_y}); \end{cases}$$

Считая, что найдено приближенное решение смешанной задачи до  $t_n$  ( $n = 0, 1, 2, \dots$ ) слоя включительно, для нахождения приближенного решения смешанной задачи на слое  $t_{n+1}$  объединим систему разностных уравнений (4) каждого узла  $M_{ij} = M(x_i; y_j) \in \hat{\partial}\Omega_h$  и граничные условия (5) каждого граничного узла  $M(x_i, y_j) \in \partial\Omega_h$ . В итоге получим систему линейных уравнений относительно компонентов векторов  $u_{ij}^{n+1}$ . Для того чтобы эта система линейных уравнений была замкнута, на граничных узлах  $M_{ij} = M(x_i; y_j) \in \hat{\partial}\Omega_h$ , для компонентов решения  $u(x, y, t)$ , для которых не поставлены граничные условия, возьмем соответствующие разностные уравнения из системы (4). В итоге получим замкнутую систему линейных уравнений. Решив эту систему методом главных элементов, получим численное решение задачи (1)-(3).

Следующая теорема, показывающая условную устойчивость разностной схемы, полученной методом конечных элементов для смешанной задачи (1)-(3).

**Теорема.** При выполнении условий

$$\int_{\hat{\partial}\Omega} Su \cdot u ds \geq 0, \quad \left( (D + D^T)u, u \right) \geq 0 \quad (9)$$

разностная задача (4)-(6) имеет единственное решение  $u_h$ , причём при любых  $h_x, h_y$  и при всех  $n \leq \frac{T}{\tau}$  выполняется неравенство

$$\|u_h^n\|_{L_2(\Omega)}^2 \leq e^T \|u_0\|_{L_2(\Omega)}^2 + (T+1)(e^T - 1)F.$$

Здесь  $\|u\|_{L_2(\Omega)} = \sqrt{\int_{\Omega} u \cdot u dx dy}$ ,  $F = \max_n \|F^n\|_{L_2(\Omega)}^2$ ,  $S = n_x B + n_y C$ ,  $n = (n_x, n_y)$  – внешняя нормаль к  $\partial\Omega$ .

На основе этих схем создана программа, решающая численно задачу (1)-(3) и рисующая график решения. При этом в случае не выполнения условий устойчивости (9) программа информирует об этом. Созданная программа проверена на основе вычислительных экспериментов в модельных задачах.

### Пример:

Дано система

$\Omega = \{(x, y) : 0 < x < 2, 0 < y < 2\}$  да

$$\begin{cases} \frac{\partial u_1}{\partial t} - \frac{\partial u_1}{\partial x} + \frac{\partial u_1}{\partial y} + u_1 = xy - yt + xt + xyt \\ \frac{\partial u_2}{\partial t} + \frac{\partial u_2}{\partial x} - \frac{\partial u_2}{\partial y} + u_2 = (x+y)(1+t) \end{cases}$$

граничными условиями

$x = 0$  да  $u_2 = yu_1 + yt$ ;

$x = 2$  да  $u_1 = -yu_2 + (y^2 + 4y)t$ ;

$y = 0$  да  $u_1 = u_2 - xt$ ;

$y = 2$  да  $u_2 = -2xu_1 + (4x^2 + x + 2)t$ ;

и начальными данными

$$t = 0: \quad \begin{aligned} u_1 &= 0 \\ u_2 &= 0 \end{aligned}$$

Найти численное решение  $v = \begin{pmatrix} v_1 \\ v_2 \end{pmatrix}$  системе удовлетворяющей граничных и начальных условий методом конечных элементов.

Точные решения системе следующие:

$$u_1 = xyt$$

$$u_2 = (x + y)t$$

Если количество разбиений по времени  $n_t = 5$ , количества разбиений по  $x$  и  $y$  соответственно равны  $n_x = 20, n_y = 20$ , то тогда разность между точным и приближенным решением во время  $t = 10$  равно  $\|u - v\| = 0,0823485$ . Где

$u(x, y, t) = \begin{pmatrix} u_1 \\ u_2 \end{pmatrix}$  точное решение,  $v = \begin{pmatrix} v_1 \\ v_2 \end{pmatrix}$  приближенное решение.

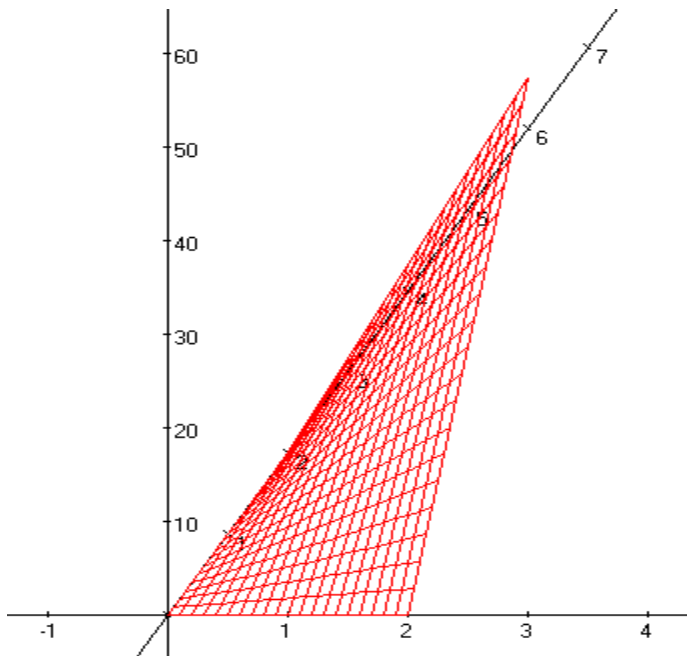


Рис. 3. Графиг  $v_1$ .

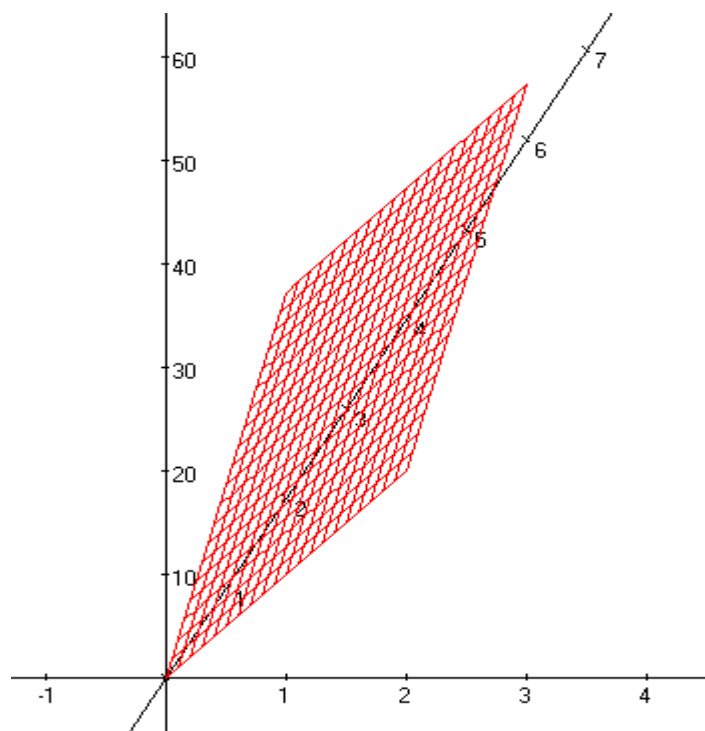


Рис. 4. Графиг  $v_2$ .

Литературы:

1. Годунов С.К. Уравнения математической физики. М.:Наука,1979,372с.
2. С.К.Годунов, А.В.Забродин и др. Численное решение многомерных задач газовой динамики. М.:Наука,1976. 75с.
3. Марчук Р.И., Агошков В.И. Введение в проекционно-сеточные методы.- М.:Наука,1981.416 с.
4. Applied Finite Element Analysis. Larry J. Segerlind. John Wiley & Sons, Inc. 1976. 289-308 с.